

气态源分子束外延 $(\text{AlGa})\text{InP}$ 和 $\text{GaInP}/\text{AlInP}$ 多量子阱材料 *

袁瑞霞 阎春辉 国红熙 李晓兵 朱世荣 李灵肖 曾一平 孔梅影
(中国科学院半导体所 北京 100083)

摘要 我们用国产第一台化学束外延 (CBE) 系统, 采用气态源分子束外延 (GSMBE) 技术研制了与 GaAs 匹配的, 性能良好的 $(\text{AlGa})\text{InP}$ 材料和 $\text{GaInP}/\text{AlInP}$ 多量子阱材料。对这些材料进行了霍耳, 光致发光 (PL), 阴极荧光 (CL) 以及 X 射线双晶衍射 (XRD) 等测量分析。

EEACC: 0510D, 2520D, 4220

1 引言

可见光激光器在高速激光印刷, 高密度光盘, 条码阅读等光信息存储处理, 激光泵浦和应用光学测量中有广泛应用。国外在 1985 年研制出室温连续波工作 $(\text{AlGa})\text{InP}$ 可见光激光器。目前这方面工作主要集中于研制短波, 高功率, 高 T_0 (即高温度稳定性) 和长寿命的 $(\text{AlGa})\text{InP}$ 可见光激光器, 其材料制备手段多数是用低压金属有机物气相外延 (LP-MOVPE) 和气态源分子束外延 (GSMBE)。GSMBE 由于采用砷烷和磷烷等气态源代替普通分子束外延 (MBE) 中使用的固态砷和磷源, 因而可以象 MOVPE 那样有效地控制外延层中 V 族元素(砷和磷)的组分; 另外它保持了 MBE 的清洁的超高真空中外延环境。精确的和在位的外延过程控制等诸多优点。因而 GSMBE 成为研制超薄多层结构材料的有力手段, 特别适合于制备磷化物的超薄多层结构材料。为研制 $(\text{AlGa})\text{InP}$ 量子阱激光器, 我们首先用 GSMBE 研制了与 GaAs 匹配的 $(\text{Al}_x\text{Ga}_{1-x})\text{InP}$ 外延层和 $\text{GaInP}/\text{AlInP}$ 多量子阱结构 (MQWS) 材料。

2 外延实验

我们使用的外延系统是国产第一台化学束外延 (CBE) 系统。图 1 就是该系统生长室结构示意图, 不锈钢外壳内衬有液氮冷却屏, 整个生长室用带液氮冷阱的扩散泵抽气, 生长前生长室背景真空可达到好的 $1.33 \times 10^{-7}\text{Pa}$, 工作时生长室压力取决于进气量大小,

* 本工作为国家高技术新材料领域资助课题

1993 年 4 月 14 日收到初稿, 1993 年 8 月 29 日收到修改稿

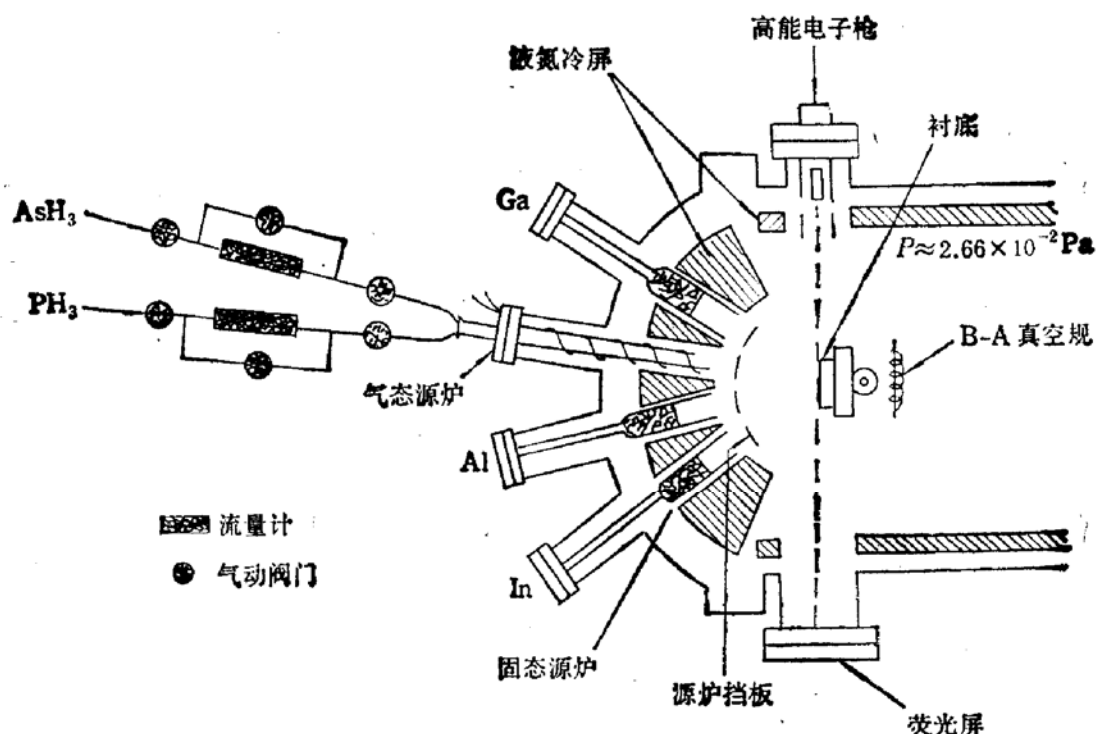


图1 外延室结构示意图

通常为 $2.67 \times 10^{-2} \text{ Pa}$ 左右。生长室内装有几个通常分子束外延 (MBE) 用的固态分子束源炉, 分别装着有高纯铟(Indium, 7N), 铟(Gallium, 7N), 铝(Aluminum, 6N); 另外, 有一个气态源炉, 纯磷烷和砷烷通过质量流量计和气动阀门进入该炉, 在其中被加热至大约 950°C , 分解成氢气和磷分子、砷分子(主要是 P_2 和 As_2), 然后喷射到衬底上。其分子束流强度是由相应的气体流量决定, 其分子束的开关则由相应气路上的气动阀门的开关控制。与 MBE 一样, GSMBE 过程可用反射式高能电子衍射监控。衬底附近的 B-A 真空规可移动到生长时外延衬底所在的位置, 测量各分子束流的等效压强 (BEP)。外延用衬底是(001)半绝缘 GaAs 单晶, 经过有机溶剂脱脂, 用 $\text{H}_2\text{SO}_4 + \text{H}_2\text{O}_2 + \text{H}_2\text{O}$ 化学腐蚀, 然后用去离子水洗净, 甩干水后用熔化的铟粘到钼样品托上, 装入进样室。当进样室真空到达 $1.33 \times 10^{-4} \text{ Pa}$ 后, 衬底通过分析室装到生长室衬底加热器上, 衬底首先在砷的分子束流中加热至 580 — 600°C , 除去表面氧化层, 外延几千埃的 GaAs 缓冲层然后衬底温度降至 520°C , 砷分子束流换成磷分子束流, 打开铟炉, 铟炉和或铝炉的挡板, 则开始外延 $(\text{AlGa})\text{InP}$ 膜。外延膜中 III 族原子是由铝, 铟, 铟炉炉温决定。在外延过程中到达外延表面 V 族原子 (P) 与 III 族原子 ($\text{Ga} + \text{Al} + \text{In}$) 之比 (V/III) 大约为 2—3。我们外延的 $\text{GaInP}/\text{AlInP}$ 多量子阱结构是在 GaAs(001) 衬底上先外延 1000 \AA GaAs 缓冲层, 然后交替外延与 GaAs 匹配的 AlInP 垒层 (100 \AA 厚) 和 GaInP 阵层 (40 \AA 厚), 重复 20 个周期, 最外层为 GaInP 层。

3 结果与讨论

3.1 $(\text{Al}_x\text{Ga}_{1-x})\text{InP}$ 材料

所外延的 $(\text{Al}_x\text{Ga}_{1-x})\text{InP}$ 材料表面光亮 (x 从 0 到 1)。外延层的 In 含量和该外延

层与 GaAs 失配度是用 X 射线双晶衍射 (XRD) 测量。晶格失配度 ($\Delta a/a$) 为 1×10^{-3} 左右。利用 Vegard 定理，我们计算的 GaInP 的垂直应变 ($\Delta a/a$)_z 与 In 含量的关系如图 2 曲线所示。曲线上的几个点对应的 In 含量是用电子探针技术核对过，两种技术测得的 In 含量值相符，偏差小于 5%。

各种铝含量的 $(Al_xGa_{1-x})InP$ 膜 ($x = 0, 0.25, 0.5$ 和 1) 均可发出较强的荧光。它们的室温阴极荧光肉眼可见，颜色从红色，橙色到黄绿色，测得的相应波长为 680 nm 到 590 nm。GaInP 和 AlInP 的 77 K 光荧光 (PL) 峰分别在 644 nm 和 513 nm，它们的半峰宽为 19 meV 和 24 meV (图 3a 和 3b)。GaInP

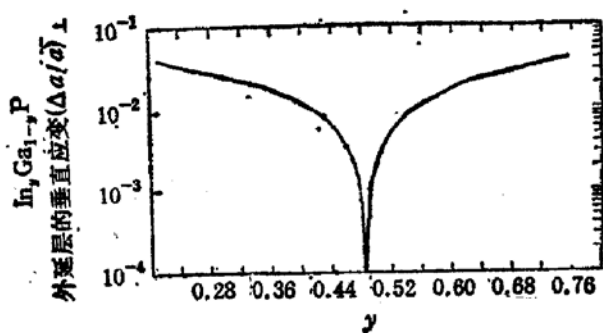


图 2 GaAs 上 $Ga_{1-y}In_yP$ 外延膜垂直应变 ($\Delta a/a$)_z 与铟含量 y 的关系

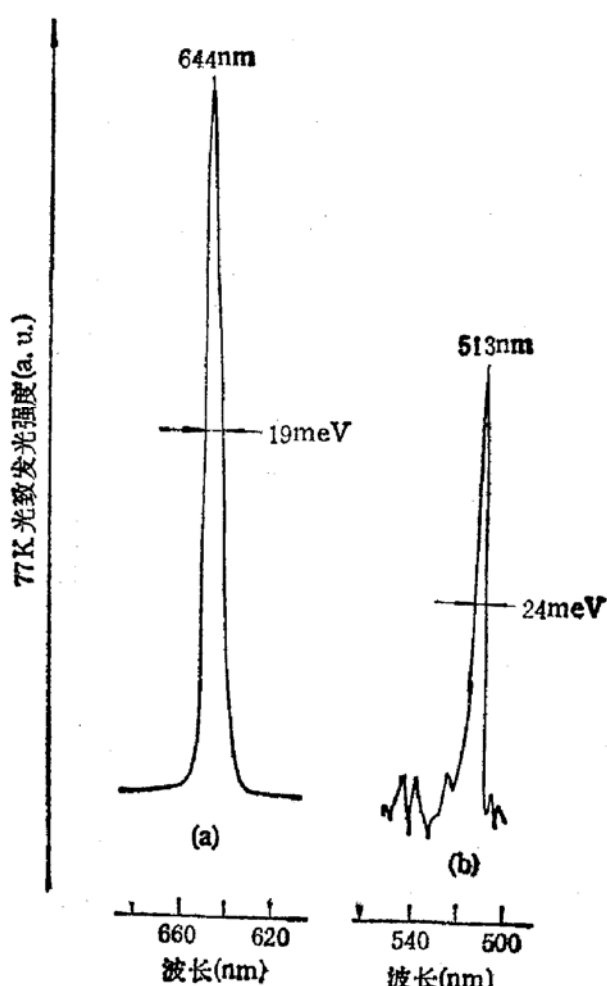
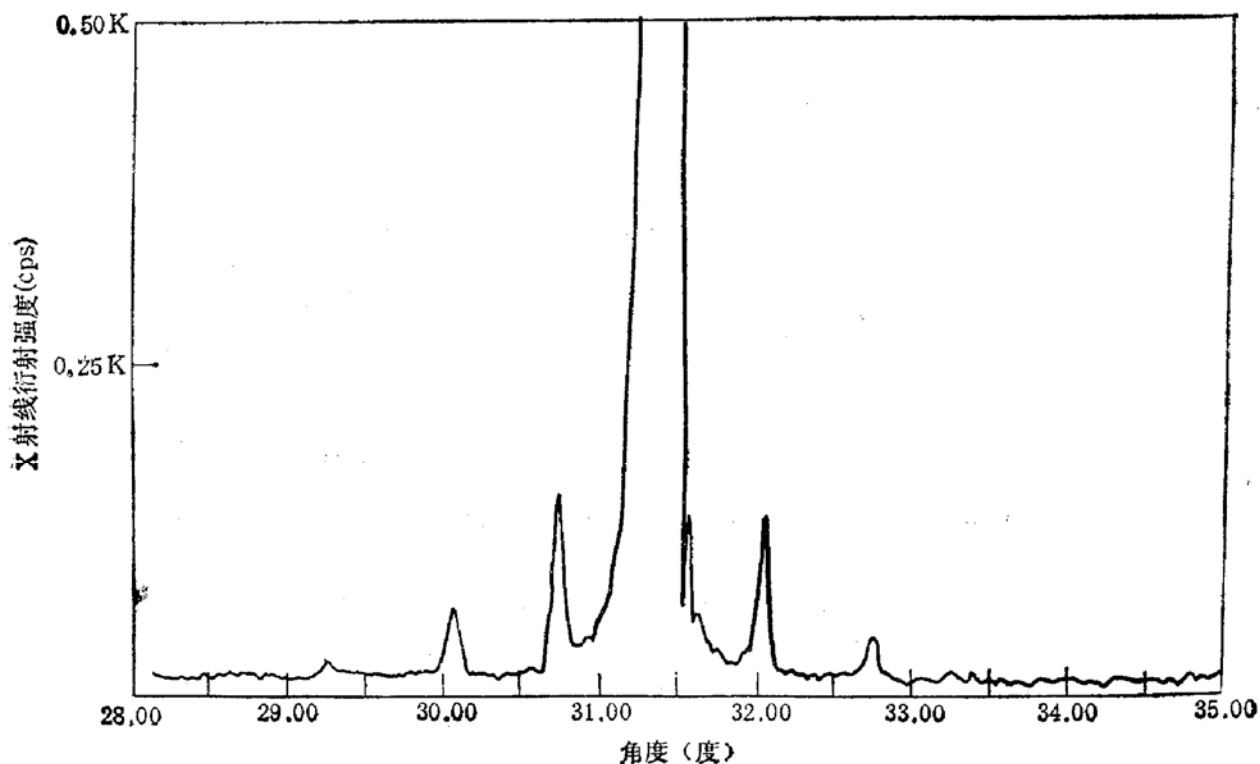


图 3 GaInP 和 AlInP 的 77 K 光致发光谱

在 10 K 的 PL 谱的波长为 640 nm，半峰宽为 12 meV； $(AlGa)_InP$ 荧光峰对应的能量随 x 增加而近于线性增长。GaInP 禁带宽度 (E_g ，荧光峰对应的能量) 随温度的变化，与文献报道的 GaAs 禁带宽度随温度的变化有十分相近的变化曲线；从室温阴极荧光和光致发光测量的 GaInP 的 $E_g = 1.820$ eV，比文献报道的 1.92 eV 少约 100 meV。这种禁带宽度变窄可能与外延膜 III 族原子 (Ga 和 In) 的有序排列有关^[1]。霍耳测量结果表明所外延的 GaInP 外延膜还具有良好的电学性能，其室温和 77 K 电子迁移率分别为 $1214-2480\text{ cm}^2/\text{V}\cdot\text{s}$ 和 $9940-20040\text{ cm}^2/\text{V}\cdot\text{s}$ ，相应的电子浓度分别为 $(3.3-3.0)\times 10^{15}\text{ cm}^{-3}$ 和 $(3.2-2.7)\times 10^{15}\text{ cm}^{-3}$ ；最佳结果是：室温和低温电子迁移率分别为 $4300\text{ cm}^2/\text{V}\cdot\text{s}$ 和 $23390\text{ cm}^2/\text{V}\cdot\text{s}$ ，相应的电子浓度分别为 $3\times 10^{15}\text{ cm}^{-3}$ 和 $3.6\times 10^{15}\text{ cm}^{-3}$ ，(外延层厚度为 $1.7\mu\text{m}$) 这个数据可与国外 GSMBE GaInP 的最好结果相比^[2]。

3.2 GaInP/AlInP 多量子阱材料

图 4 是该结构的 X 射线双晶衍射曲线，图中明显可见的二级卫星衍射峰表明了良好的周期性结构：由此曲线求出的一个 AlInP/GaInP 周期的厚度为 135 \AA ，接近设计值

图4 GaInP/InP 多量子阱的X射线双晶衍射回摆曲线

140\AA 。该量子阱结构的阴极荧光和光致发光很强,比 GaInP 外延层的荧光强几倍。用肉眼很容易看到它的室温阴极荧光,它的室温和 80K 的阴极荧光峰波长分别是 647nm 和 622nm ,相应的半峰宽为 65meV 和 40meV ;在 10K 光致发光峰的波长是 608nm ,半峰宽为 15meV , (表1)。我们计算了 $\text{GaInP}/\text{AlInP}$ 一维方势阱中电子和重空穴的第一子带能量,并使用我们实验中测得的 10K GaInP 的禁带宽度 1.938eV ,得到阱中电子第一子带相对于重空穴第一子带能量为 2.031eV ,与 10K 光荧光峰的能量位置 (2.038eV)很接近,表明该光致发光是与该两子带间的跃迁发光相关。

表1 $\text{GaInP}/\text{AlInP}$ 多量子阱样品的阴极荧光 (CL) 和光致发光 (PL)
发光峰的波长与半高峰宽 (FWHM)

	CL(300 K)	CL(80 K)	PL(10 K)
发光峰波长 (nm)	647	622	608
发光峰半高宽 (meV)	65	40	15

4 结论

我们用国产第一台 CBE 系统,采用 GSMBE 技术,外延了与 GaAs 匹配的 $(\text{Al}_x\text{Ga}_{1-x})\text{InP}$ ($x = 0, 0.25, 0.5$ 和 1) 材料以及 $\text{AlInP}/\text{GaInP}$ 多量子阱材料,对这些材料进行的 X 射线双晶衍射,电子探针(阴极荧光),光致发光,和霍耳等测量表明这些材料性能良好,可用于制备 $(\text{AlGa})\text{InP}$ 量子阱激光器。

致谢 我们感谢以下同志在材料测试分析上所给予的帮助：李成基，李韫言，（电子探针测量），王玉田，高维宾（X光双晶衍射测量），王万年（霍耳测量），王维明，蔚燕华（俄歇谱测量），滕达，郑婉华（光致发光测量）。

参 考 文 献

- [1] A. Gomyo, T. Suzuki, K. Kobayashi, S. Kawata, I. Hino and T. Yuasa, Appl. phys. lett., 1987, 50:673.
- [2] J. M. Kuo and E.A. Fitzgerald, J. Vac. Sci. Technol., 1992, B10: 959.

(AlGa) InP and GaInP/AlInP Multiple Quantum Wells Grown by Gas Source Molecular Beam Epitaxy

Yuan Ruixia, Yan Chunhui, Guo Hongxi, Li Xiaobing, Zhu Shirong,
Li Lingxiao, Zeng Yiping and Kong Meiyang

(*Institute of Semiconductors, Chinese Academy of Sciences, Beijing 100083*)

Abstract Good quality $(\text{Al}_x\text{Ga}_{1-x})\text{InP}$ ($x=0, 0.25, 0.5$, and 1) layers and GaInP/AlInP multiple quantum well structures (MQWS) were grown by gas source molecular beam epitaxy (GSMBE) and characterized by photoluminescence (PL), double crystal X ray diffraction (XRD) and Hall measurements.

EEACC: 0510D, 2520D, 4220